

Cadre adopté

- Signaux sériels
- Signaux échantillonnes. $T_e = 1$ (fréquence réduite)
- On dispose de N échantillons zen $0 \leq n \leq N-1$.
- Soit on considère que $\{x_n\}_n$ est un signal déterministe échantillonné.
- Soit on considère $\{x_n\}_n$ comme une partie de la réalisation d'un signal aléatoire x_n n'étendant de $-\infty$ à $+\infty$. Signal stationnaire du 2^e ordre
- Question: que vont nous donner ces deux points de vue lorsque l'on s'intéresse aux caractéristiques spectrales du signal?

Densité spectrale de puissance:

- Signal ~~aléatoire~~ déterministe.

$$x_n \rightarrow X_k$$

On a montré que $|X_k|^2 = \mathcal{F}(\gamma_{x(n)})$

$\gamma_{x(n)}$: fonction de corrélation du signal.

$$\gamma_{x(n)} = \sum_{p=-\infty}^{+\infty} x_p x_{p-n}$$

$|X_k|^2$: spectre ou densité spectrale de puissance.
du signal déterministe

- Signal aléatoire.

On cherche à écrire.

$$X_n = \int g_x(j) e^{2\pi j n} dj ; \text{ problème: intégrale stochastique.}$$

On a admis que.

- On peut donner un sens à l'intégrale.
- Le calcul direct de la quantité aléatoire $g_x(j)$ est hors de notre portée
- Par contre, on peut calculer simplement $E[g_x(j)]^2 = \Gamma_x(j)$.
On peut montrer (grâce au lemme de Loève) que.
 $\Gamma_{xc}(j) = E[|g_x(v)|^2] = \mathcal{F}(\gamma_x(n))$ où $\gamma_x(n)$ désigne la fonction d'autocorrélation du signal aléatoire X : $\gamma_x(n) = E[x(p)x(p-n)]$
- Remarque: $\gamma_x(n)$ ne dépend pas de p à cause de la stationnarité de X .
- $\mathcal{F}_{xc}(j)$: spectre ou densité spectrale de puissance de X
 - Conclusion
- Dans un cas comme dans l'autre, le spectre est la TF de la fonction d'autocorrélation.
- ~~Belles démonstrations~~ la définition de la fonction d'autocorrélation diffère selon que le signal est considéré comme aléatoire ou déterministe.

Analyse spectrale classique

- Remarque introductive.
- Si x est considéré comme déterministe: aucune difficulté ~~pour calculer~~ le spectre peut être calculé soit directement par TF des échantillons de x , soit par l'intermédiaire de la fonction de corrélation déterministe. Attention aux approximations introduites par l'observation sur un horizon fini. (voir chapitre 1)

- ~~Processus~~ Dans le suite: signal aléatoire stationnaire de degré deuxième ordre.

Problème posé: estimation de sa fonction de corrélation à partir des échantillons dont on dispose.

$$\underline{x}_n \xrightarrow{\text{estim.}} \hat{r}_{xx}(n) \xrightarrow{\mathbb{P}} \hat{R}_x(\cdot)$$

- Application de la technique d'estimation.
- On a le vecteur aléatoire \underline{x}
- on suppose \underline{x} à moyenne nulle.
- on veut estimer sa matrice de covariance R_x qui est Toeplitz (stationnarité de \underline{x})

$$- f(\underline{x} | R_x) = \frac{1}{K|R_x|^{1/2}} \exp\left(-\frac{1}{2} \underline{x}^T R_x^{-1} \underline{x}\right).$$

$$- f(R_x) = \text{constante.} \quad (\text{pour simplifier})$$

- On doit donc maximiser:

$$- \frac{1}{2} \ln |R_x| - \frac{1}{2} \underline{x}^T R_x^{-1} \underline{x} \quad \text{pl/r aux éléments de la matrice Toeplitz } R_x.$$

- Problème pas encore résolu de manière exacte.

- Nécessité de recourir à des estimateurs empiriques:

$$\hat{r}_{xx}(n) = \sum \underline{x}(p) \underline{x}(p-n)$$

doux estimateurs de ce type:

$$\hat{r}_{xx}(n) = \frac{1}{N-|n|} \sum_{p=|n|}^{N-1} \underline{x}(p) \underline{x}(p-n). \quad \text{non biaisé}$$

$$\hat{r}_{xx}(n) = \frac{1}{N} \sum_{p=|n|}^{N-1} \underline{x}(p) \underline{x}(p-n) \quad \text{biaisé}$$

Différence au
(a/b)

→ Calcul du biais:

Estimateur non biaisé

$$E[\hat{\tau}_x(n)] = \frac{1}{N-n} \sum_{p=1}^{N-1} E[x(p)x(p-n)]$$

$$= \tau_x(n) \implies \text{biais nul. pour } |n| \leq N$$

Estimateur biaisé.

$$E[\hat{\tau}_x(n)] = \frac{1}{N} \sum_{p=1}^N E[x(p)x(p-n)]$$

$$= \frac{N-n}{N} \tau_x(n) \implies \text{biais non nul pour } n \neq 0.$$

- Calcul de la variance: complète, même sous hypothèse gaussienne.

- D'un point de vue pratique.

1) ~~parce que~~ l'estimateur biaisé est souvent préférable, car de l'erreur totale plus faible. biais $\neq 0$, mais variance \downarrow .

2) On remarque que :

|| Cas ~~biaisé~~^{non biaisé} $E[\hat{\tau}_x(n)] = R_N(n) \cdot \tau_x(n)$

|| Cas biaisé $E[\hat{\tau}_{xc}(n)] = T_N(n) \cdot \tau_x(n)$

• Corrélogramme.

Une fois calculée une estimation de $\tau_x(n)$:

$$\Gamma_x(j) = \tilde{F}(\hat{\tau}_x(n)) = \sum_{n=-N+1}^{N-1} \hat{\tau}_x(n) e^{-2i\pi j n}$$

→ estimée du spectre

On peut calculer son biais.

$$E[\widehat{r}_{xx}(v)] = \mathcal{F}[E[\widehat{r}_{xx}(n)]] \quad (\text{linéarité de } \mathcal{F} \text{ et } E).$$

Or

- Cas ~~bias~~ non biaisé.

$$E[\widehat{r}_{xx}(n)] = R_N(n) r_{xx}(n).$$

$$\rightarrow E[\widehat{r}_{xx}(v)] = R_N(v) \widehat{r}_{xx}(v)$$

- Cas biaisé.

$$E[\widehat{r}_{xx}(n)] = T_N(n) r_{xx}(n)$$

$$\rightarrow E[\widehat{r}_{xx}(v)] = T_N(v) \widehat{r}_{xx}(v).$$

Or $R_N(v) = \frac{\sin \pi v (2N-1)}{\sin \pi v}$

$$T_N(v) = \frac{1}{N} \left[\frac{\sin \pi v N}{\sin \pi v} \right]^2$$

T

D'où: cas non biaisé: l'estimée de la DSP peut être négative!

cas biaisé: l'estimée de la DSP est toujours positive.

Résolution non biaisée \rightarrow révolution biaisée.

Dans tous les cas: biais $\rightarrow 0$ lorsque $N \rightarrow +\infty$.

- Défauts du corrélogramme

* possibilité d'estimations négatives.

* Observations pas explicites dans l'expression de l'estimation \Rightarrow 2 opérations en cascade.
l'étude difficile.

- Périogramme.

- Idée: remédier aux défauts précédents.
se rapprocher des cas où x est considéré comme déterministe.

- Définition:

$$P(j) = \frac{1}{N} \left| \sum_{n=0}^{N-1} x(n) e^{-j\omega n} \right|^2$$

- lien avec le corrélogramme avec estimateur biaisé.

$$\begin{aligned} \hat{\Gamma}_x(j) &= \sum_{n=-N+1}^{N-1} \hat{\delta}_{xx}(n) e^{-j\omega n} \\ &= \frac{1}{N} \sum_{n=-N+1}^{N-1} \sum_{p=-\infty}^{+\infty} x(p) \tilde{\delta}_N(p) x(p-n) \tilde{\delta}_N(p-n) e^{-j\omega n} \\ &= \frac{1}{N} \sum_{n=-\infty}^{+\infty} \sum_{p=-\infty}^{+\infty} x(p) \tilde{\delta}_N(p) x(p-n) \tilde{\delta}_N(p-n) e^{-j\omega n} \end{aligned}$$

On pose $k = p - n$.

$$\begin{aligned} \hat{\Gamma}_x(j) &= \frac{1}{N} \sum_{p=-\infty}^{+\infty} \sum_{k=-\infty}^{+\infty} x(p) \tilde{\delta}_N(p) x(k) \tilde{\delta}_N(k) e^{-j\omega k} \\ &= \frac{1}{N} \left| \sum_{n=-\infty}^{+\infty} \tilde{\delta}_N(n) x(n) e^{-j\omega n} \right|^2 \\ &= \frac{1}{N} \left| \sum_{n=0}^{N-1} \cancel{\tilde{\delta}_N(n)} x(n) e^{-j\omega n} \right|^2 \end{aligned}$$

- Remarque: On retrouve le carré du module de la TF des échantillons observés : à un facteur près, c'est le spectre du signal considéré comme déterministe.

- Question: comment ce spectre est-il lié à la DSF du signal aléatoire sous-jacent?

- Biass et variance du périodogramme.

- biass: $P(j)$ identique au corrélogramme avec estimateur biaisé.

$$\Rightarrow E[P(j)] = \Gamma_x(j) + T_N(j).$$

le biass tend vers 0 lorsque $N \rightarrow +\infty$.

- Variance.

On peut calculer

$$\begin{aligned} \text{Var}(P(j)) &= E[|P(j) - E[P(j)]|^2] \\ &= E[|P(j)|^2] - |E[P(j)]|^2 \end{aligned}$$

Sous hypothèses gaussiennes, on montre que

$$\text{Var}(P(j)) \geq |E(P(j))|^2$$

lorsque $N \rightarrow +\infty$: $\text{Var}(P(j)) > |\Gamma_x(j)|^2$

\Rightarrow estimateur non convergent

T

- Conclusion sur le périodogramme:

- Simple à employer

- Peu informatif d'un point de vue ~~converge~~ convergence

- On peut étendre l'idée des fenêtres (ici rectangulaires puis triangulaires) à d'autres formes

- ~~Mod~~ Modification du compromis

- bias / variance, mais toujours estimateur non convergent

T

- Périodogramme moyenisé.
- N échantillons au total
- L blocs de K échantillons
- Hypothèse: décorrélation entre blocs.
- Principe de la méthode:
 - * calcul d'un périodogramme par bloc
 - * moyennage des L périodogrammes obtenus.
- biais Sur chaque bloc:
$$E[P_m(j)] = \Gamma_x(j) * T_K(j)$$
en moyennant: $E[P_M(j)] = \Gamma_x(j) * T_K(j).$

\Rightarrow perte de résolution plus du périodogramme simple
- Variance Par la loi des grands nombres
$$\text{Var}(P_M(j)) = \frac{1}{L} \text{Var}(P(j)).$$
 car décorrélation entre les blocs.

Pour K suffisamment grand, $\text{Var}(P(j))$ est borné
d'où : estimateur convergent.

On peut prendre par exemple $K=L=\sqrt{N}$
- Autres possibilités.
 - * Fenêtre différente sur chaque bloc. (lakes secondaires)
 - * Chevauchement des horizons (mais décorrélation plus bas)
 - * Estimateur de Welch (fonction spectrum de matlab)
 - meilleurs résultats avec chevauchement de $K/2$
 - * Dans tous les cas, si N donne, réglage des compromis biais / variance !

- Périodogramme lissé

- Idée générale: considérer la DSP estimée comme un signal biaisé.
- Réduire le biais (la variance d'estimation) par un filtrage fréquentiel.

$$P_L(j) = P(j) * w(j)$$

$w(j)$ Fenêtre spectrale. Questions:

- * Comment choisir la fenêtre?
- * lien avec ce qui précède?

- Hypothèses:

$w(n)$ à support compact $[-k+1, k-1]$. $k \ll N$

Périodogramme = corrélogramme avec estimateur biaisé pour la fonction de corrélation:

$$P(j) = \sum_{n=-M+1}^{M+1} \hat{r}_x(n) e^{-2iRjn}$$

$$\Rightarrow P_L(j) = \sum_{n=-M+1}^{M+1} \hat{r}_x(n) w(n) e^{-2iRjn}$$

Pour avoir de bonnes propriétés (conservation de l'énergie...) w doit satisfaire: w paire et $\int |w(u)|^2 du = 1$.

- Biais du périodogramme lissé.

$$\begin{aligned} E[P_L(j)] &= \sum_{n=-M+1}^{M+1} E[\hat{r}_x(n)] w(n) e^{-2iRjn} \\ &= \sum_{n=-M+1}^{M+1} \frac{N-|n|}{N} r_x(n) w(n) e^{-2iRjn} \end{aligned}$$

si $k \ll N$, la somme peut être réduite à $[-k+1, k-1]$ et on a alors

$$\frac{N-|n|}{N} \approx 1 \rightarrow$$

$$E[P_L(j)] \approx \sum_{n=-k+1}^{k-1} r_x(n) w(n) e^{-2iRjn}$$

$$E[P_L(j)] \sim \Gamma_x(j) * w(j)$$

pour un biais faible, on veut $w(j) \sim \delta(j)$.

\Rightarrow largeur fréquentielle faible

\Rightarrow grande largeur temporelle.

- Variance du périodogramme lissé.

Etude très difficile. Sous des hypothèses draconiennes (N grand, spectre à varia très lentes)

$$\text{Var}(P_L(j)) \sim \Gamma_x(j)^2 + w^2(j).$$

Variance

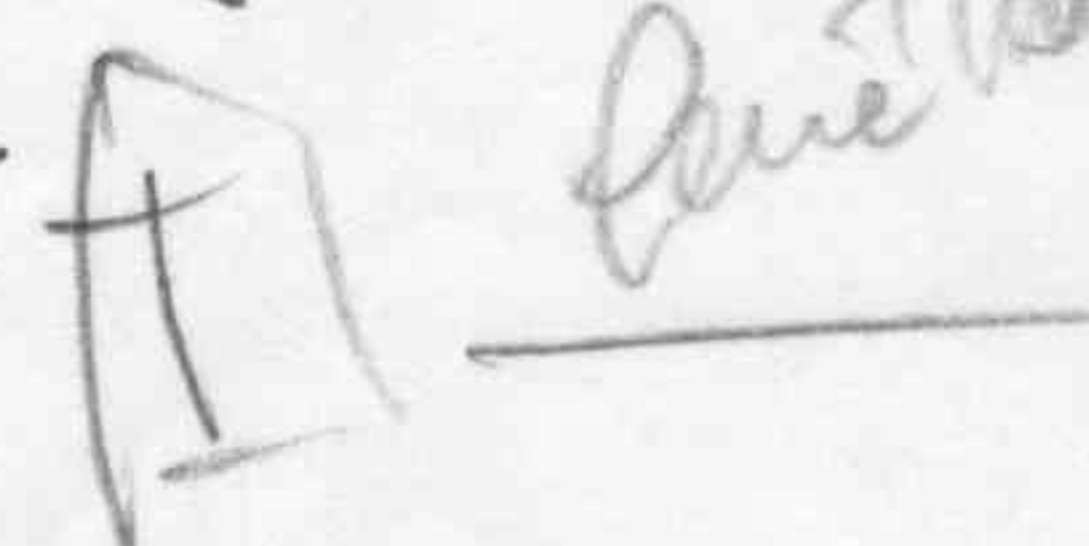
~~biais~~ faible si $w'(j)$ petit et "uniformément" réparti.
(on a la contrainte $\int |w(j)|^2 dj = 1$)

\rightarrow large étalement spectral

\rightarrow faible largeur temporelle

On doit donc trouver (comme pour le périodogramme moyené) un compromis biais-variance.

Si $N \rightarrow \infty$, on peut assurer la convergence -



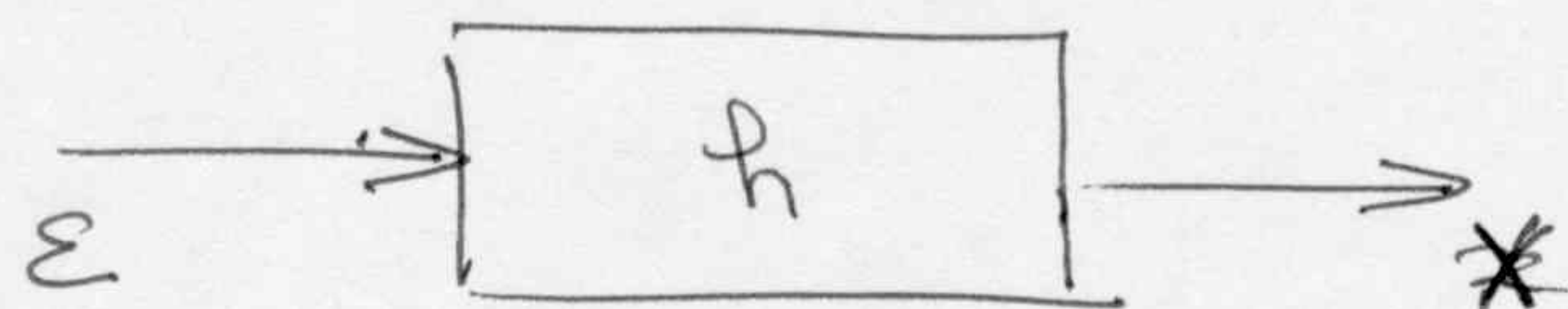
- Conclusion.
- Considérer le signal comme déterministe est souvent insuffisant
- Périodogramme sous ses variantes.
 - * performances de calcul (FFT)
 - * souvent "bruyant" à échantillons faibles.
 - * réservé à ~~N >~~ 128 ou 256
- Méthodes recommandées:
 - welch. (Spectrum de matlab)
 - Périodogramme lissé.
 - A Henri au compromis biais / variance.
- Remarque: Fenêtre peut être interprétée comme de l'a priori ~~sur le spectre~~ lors de l'estimation de la DSP

Analyse spectrale paramétrique

- Introduction
- Rappel.

X_n signal aléatoire stationnaire du 2^e ordre.
spectre "suffisamment régulier".

On peut trouver un bruit blanc ε_n et un filtre dynamique h tel que X puisse être interprété comme le résultat du filtrage de ε par h .



- Principe:

* estimer h

* en déduire $\Gamma_x(j) = |H(j)|^2 \underbrace{\Gamma_\varepsilon(j)}_{\text{有 } \sigma_\varepsilon^2} = |H(j)|^2 \sigma_\varepsilon^2$

* on utilisera une paramétrisation de $H(j)$

* on espère qu'avec un petit nombre de paramètres, on pourra ~~assez~~ modéliser X fidèlement.

- Analyse spectrale AR.

- Remarque: sous réserve de régularité du spectre de X , on peut toujours choisir pour h une représentation tout pôle.

- On a alors.

$$x_n = \sum_{p=1}^P a_p x_{n-p} + \varepsilon_n$$

Intérêts: représentation facile à manipuler
facile à estimer.
compacte (en général)

- Une fois les paramètres estimés:

$$\hat{\Gamma}_x(j) = \frac{1}{\left| 1 - \sum_{p=1}^P \hat{a}_p e^{-2j\pi j p} \right|^2}$$

voir
estimation
de σ_x^2

- Estimation des paramètres : en utilisant les coefficients de corrélation.

$$x_n = \sum_{p=1}^P a_p x_{n-p} + \varepsilon_n. \quad \varepsilon_n \text{ indépendant de } x_p, b_n.$$

$$E[x_n x_{n-k}] = \sum_{p=1}^P a_p E[x_{n-k} x_{n-p}] + \cancel{E[\varepsilon_n x_{n-k}]}$$

$$\gamma(k) = \sum_{p=1}^P a_p \gamma_{p-k}.$$

en faisant varier k de 1 à P :

$$\begin{bmatrix} \gamma_0 & \gamma_1 & \cdots & \gamma_{P-1} \\ \gamma_1 & \ddots & & \\ \vdots & & \ddots & \\ \gamma_{P-1} & \cdots & \cdots & \gamma_0 \end{bmatrix} \begin{bmatrix} a_1 \\ \vdots \\ a_P \end{bmatrix} = \begin{bmatrix} \gamma_1 \\ \vdots \\ \gamma_P \end{bmatrix}$$

Équations de Yule-Walker.

- Procédure:

- * Choisir l'ordre P
- * ~~Estimer~~ Éstimer les coefficients de corrélation $\gamma_0, \dots, \gamma_P$
- * Résoudre l'équation matricielle
- * En déduire le spectre.

- Avantages:
 - * algorithmes simples.
 - * permet la mise en œuvre de l'approche.

- Inconvénients.

- * Estimation des coefficients de corrélation?
- * Etapes multiples.
- * Caractéristiques globales?

- Limitation pratique: $D \leq N/2$ (ou même $N/4$)

- Estimation des paramètres: à partir des observations.

- N observations $x_0 \rightarrow x_{N-1}$

- On écrit:

$$\cancel{x_0} = \cancel{x_0^T} \underline{a} + \cancel{\varepsilon_0}$$

$$\underline{a}^T = [a_1 \quad a_D]$$

$$\cancel{x_0^T} = \cancel{[x_0 \quad x_1 \quad \dots \quad x_{D+1}]}$$

$$x_1 = \underline{x_1^T} \underline{a} + \varepsilon_1$$

$$\underline{x_1^T} = [x_0 \quad x_1 \quad \dots \quad x_{D+1}]$$

$$x_2 = \underline{x_2^T} \underline{a} + \varepsilon_2$$

$$\underline{x_2^T} = [x_1 \quad x_2 \quad \dots \quad x_{D+2}]$$

⋮

$$x_n = \underline{x_n^T} \underline{a} + \varepsilon_n$$

$$\underline{x_n^T} = [x_{n-1} \quad \dots \quad x_{n-D}]$$

⋮

$$x_{N-1} = \underline{x_{N-1}^T} \underline{a} + \varepsilon_{N-1}$$

$$\underline{x_{N-1}^T} = [x_{N-2} \quad \dots \quad x_{N-D-1}]$$

→ sous forme matricielle.

$$\underline{x} = X \underline{a} + \underline{\varepsilon}$$

- On applique la ~~la~~ technique générale pour l'estimation:

ε gaussien $\mathcal{N}(0, \sigma_\varepsilon^2 I)$.

$\rightarrow f(\underline{x} | \underline{\alpha})$ gaussien: $\mathcal{N}(\underline{X}\underline{\alpha}, \sigma_\varepsilon^2 I)$.

$\underline{\alpha}$: gaussien $\mathcal{N}(\underline{0}, \sigma_\alpha^2 I)$.

d'où:
$$\underline{\hat{\alpha}} = \left(\underline{X}^\top \underline{X} + \frac{\sigma_\varepsilon^2}{\sigma_\alpha^2} I \right)^{-1} \underline{X}^\top \underline{x}$$

Si pas d'a priori sur $\underline{\alpha}$: $\sigma_\alpha^2 \rightarrow \infty$.

$$\underline{\hat{\alpha}} = (\underline{X}^\top \underline{X})^{-1} \underline{X}^\top \underline{x}$$

~~des propriétés pratiques~~

- * bonne propriétés de cette méthode (bias, convergence).
- * Si $f(\underline{\alpha})$ = constante: estimation classique pour des sous-ensembles de contraste: $P \leq N/2$.
- * si $f(\underline{\alpha}) \neq$ constante: on peut aller jusqu'à $P = N$!
- En pratique:
 - * choisir P .
 - * choisir l'estimateur en fonction du ~~du~~ contraste (~~de~~ P/N et du contenu informationnel de X (large bande ou pas?))
 - * estimer $\underline{\alpha}$
 - * en déduire le spectre. (σ_ε^2 s'estime par la puissance des résidus).

Exemple:
analyse des
signaux Doppler.

- Principe des mesures.
- Résultats

Doppler

Conclusions:

- Revue panoramique des plus importantes méthodes d'analyse spectrale.
- Analyse spectrale non paramétrique.
 - $N > 128$
 - Attention à l'utilisation abusive des fenêtres.
 - Welch ou périodogramme lissé, en ajustant le compromis biais / variance.
- Analyse spectrale paramétrique.
 - $N < 128$ (ou même N grand)
 - Deux cas: AR ~~longs~~ courts ($P < N/2$) \rightarrow PLS
AR longs ($P \geq N/2$) \rightarrow MAP

Discussion

Relâchement de l'hypothèse de stationnarité.